

## УПРУГОЕ ДЕФОРМИРОВАНИЕ КРУГОВЫХ ТРЕХСЛОЙНЫХ ПЛАСТИН СО СЖИМАЕМЫМ ЗАПОЛНИТЕЛЕМ ОСЕСИММЕТРИЧНЫМИ НАГРУЗКАМИ

Захарчук Ю. В.

*Белорусский государственный университет транспорта, Гомель*

Многослойные конструкции, в том числе трехслойные, нашли широкое применение при развитии самолетостроения в середине прошлого века. Это обусловило необходимость разработки механико-математических моделей и методов расчета трехслойных элементов конструкций на различные виды и типы нагрузок. Стержни, пластины и оболочки, имеющие слоистую структуру, обычно набраны из материалов с существенно различными физико-механическими свойствами. В трехслойных пакетах основная часть механической нагрузки воспринимается несущими слоями из материалов высокой прочности и жесткости. Связующие слои, служащие для образования монолитной конструкции, предназначены для перераспределения усилий между несущими слоями. Такое сочетание слоев позволяет обеспечить надежную работу систем в неблагоприятных условиях окружающей среды (температура, радиация), создавать конструкции, сочетающие высокую прочность и жесткость с относительно малой массой.

В настоящее время разработка общей теории квазистатических деформаций трехслойных конструкций транспортной техники, в том числе и пластин, еще не завершена и интенсивно продолжается. Для них создаются математические модели деформирования при комплексных термосиловых, терморadiационных нагружениях. Рассматриваются задачи прочности, устойчивости, динамического поведения.

Динамике и колебаниям слоистых элементов конструкций, включая трехслойные пакеты, посвящены многочисленные исследования, в том числе монографии [1–3]. В них даются общие подходы к разработке механико-математических моделей колебаний и квазистатического деформирования трехслойных стержней, пластин и оболочек. Свободные и вынужденные колебания трехслойных пластин и оболочек рассмотрены в публикациях [4–6]. Продолжаются исследования напряженно-деформированного состояния многослойных композитных пластин при акустическом [7], термосиловом [8, 9] воздействии. Квазистатическому деформированию круговой трехслойной пластины в своей плоскости посвящены работы [10, 11], рассматривающие лишь частные случаи нагружения: осесимметричное, неосесимметричное радиальной нагрузкой.

Следует отметить, что и деформирование и колебания трехслойных круговых пластин в указанных работах исследовались только в случае несжимаемого заполнителя. В то время как применение различных видов заполнителей в расчетных моделях показывает, что существенную роль в напряженно-деформированном состоянии трехслойных пластин играют не только размеры, жесткость срединного слоя [12], степень заполнения объема между несущими слоями [13], но и его сжимаемость [14, 15]. Применение моделей, учитывающих сжимаемость заполнителя, позволило бы с большей степенью точности оценить физические параметры прочности рассматриваемых конструкций. Поэтому здесь приведена постановка и решение краевой задачи о деформировании круговой трехслойной пластины со сжимаемым-растягиваемым заполнителем, включающая систему дифференциальных уравнений равновесия и граничные условия.

**1. Постановка краевой задачи.** Рассматривается упругая круговая трехслойная пластина со сжимаемым-растягиваемым заполнителем (рис. 1). Постановка задачи и ее

решение проводится в цилиндрической системе координат  $r, \varphi, z$ , связанной со срединной плоскостью заполнителя. В тонких несущих слоях с толщинами  $h_1 \neq h_2$  справедливы гипотезы Кирхгофа: нормаль остается несжимаемой, прямолинейной и перпендикулярной к деформированной срединной поверхности. В заполнителе, воспринимающем нагрузку в тангенциальном и вертикальном направлениях, нормаль остается прямолинейной, поворачивается на некоторый дополнительный угол  $\psi(r)$ . Обжатие по толщине принимается линейным.

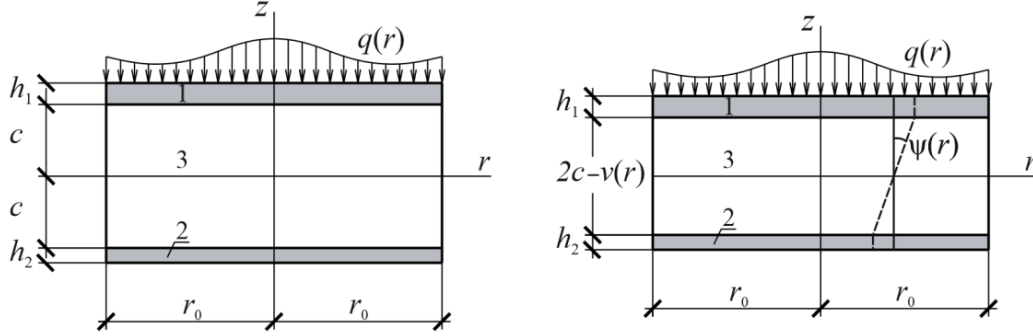


Рис. 1. Схема деформирования круговой трехслойной пластины

На внешний слой пластины действует осесимметричная распределенная нагрузка с вертикальной  $q = q(r)$  и горизонтальной  $p = p(r)$  составляющими. На контуре пластины предполагается наличие жесткой диафрагмы, препятствующей относительному сдвигу слоев и обжатию заполнителя ( $\psi = 0, v = 0$  при  $r = r_0$ ). Через  $w(r)$  обозначен прогиб нижнего несущего слоя,  $u(r)$  – радиальное перемещение срединной плоскости заполнителя,  $\psi(r)$  – относительный сдвиг в заполнителе,  $v(r)$  – функция, характеризующая сжимаемость заполнителя. Через  $h_k$  обозначена толщина  $k$ -го слоя ( $k = 1, 2, 3$ ), при этом  $h_3 = 2c$ .

Продольные и поперечные перемещения в слоях  $u^{(k)}(r, z)$  и  $w^{(k)}(r, z)$  выражаются через четыре искомые функции  $w(r), u(r), \psi(r)$  и  $v(r)$  следующими соотношениями:

– несущие слои 1, 2

$$u_r^{(1)} = u + c\psi - z(w_{,r} + v_{,r}), \quad w^{(1)}(r, z) = w(r) + v(r) \quad (c \leq z \leq c + h_1),$$

$$u_r^{(2)} = u - c\psi - zw_{,r}, \quad w^{(2)}(r, z) = w(r) \quad (-c - h_2 \leq z \leq -c),$$

– заполнитель 3

$$u_r^{(3)} = u + z\psi - z \left[ w_{,r} + \frac{v_{,r}}{2c}(z + c) \right], \quad w^{(3)}(r, z) = w(r) + \frac{v(r)}{2c}(z + c) \quad (-c \leq z \leq c), \quad (1)$$

где  $z$  – расстояние от рассматриваемого волокна до срединной поверхности заполнителя; запятая в нижнем индексе обозначает операцию дифференцирования по следующей за ней координате.

Компоненты тензора деформаций в слоях:

$$\varepsilon_r^{(1)} = u_{,r} + c\psi_{,r} - z(w_{,rr} + v_{,rr}), \quad \varepsilon_\varphi^{(1)} = \frac{1}{r}(u + c\psi - z(w_{,r} + v_{,r})), \quad \varepsilon_{rz}^{(1)} = 0,$$

$$\varepsilon_r^{(2)} = u_{,r} - c\psi_{,r} - zw_{,rr}, \quad \varepsilon_\varphi^{(2)} = \frac{1}{r}(u - c\psi - zw_{,r}), \quad \varepsilon_{rz}^{(2)} = 0,$$

$$\varepsilon_r^{(3)} = u_{,r} + z\psi_{,r} - z \left[ w_{,rr} + \frac{v_{,rr}}{2c}(z + c) \right], \quad \varepsilon_\varphi^{(3)} = \frac{1}{r} \left\{ u + z\psi - z \left[ w_{,r} + \frac{v_{,r}}{2c}(z + c) \right] \right\}, \quad (2)$$

$$\varepsilon_{rz}^{(3)} = \frac{1}{2} \left( \psi - \frac{z}{2c} v_{,r} \right), \quad \varepsilon_z^{(3)} = \frac{v}{2c}.$$

Таким образом, через введенные четыре искомые функции  $w(r), u(r), \psi(r)$  и  $v(r)$  выражены перемещения (1) и деформации (2) в круговой пластине со сжимаемым заполнителем.

Используя компоненты тензора напряжений  $\sigma_\alpha^{(k)}$  ( $\alpha = r, \varphi$ ), введем обобщенные внутренние усилия и моменты в пластине:

$$\begin{aligned} T_\alpha &\equiv \sum_{k=1}^3 T_\alpha^{(k)} = \sum_{k=1}^3 \int_{h_k} \sigma_\alpha^{(k)} dz, \quad M_\alpha \equiv \sum_{k=1}^3 M_\alpha^{(k)} = \sum_{k=1}^3 \int_{h_k} \sigma_\alpha^{(k)} z dz, \\ S_\alpha^{(3)} &= \int_{-c}^c \sigma_\alpha^{(3)} z^2 dz, \quad Q^{(3)} = \int_{-c}^c \sigma_{rz}^{(3)} dz, \quad M_{rz}^{(3)} = \int_{-c}^c \sigma_{rz}^{(3)} z dz, \quad T_z^{(3)} = \int_{-c}^c \sigma_z^{(3)} dz, \\ H_\alpha &= M_\alpha^{(3)} + c(T_\alpha^{(1)} - T_\alpha^{(2)}), \quad D_\alpha = S_\alpha^{(3)} + c(M_\alpha^{(1)} - M_\alpha^{(2)}), \end{aligned} \quad (3)$$

где интегралы берутся по толщине  $k$ -го слоя.

Уравнения равновесия рассматриваемой трехслойной пластины со сжимаемым заполнителем получим, используя вариационный принцип Лагранжа.

$$\delta A = \delta W,$$

где  $\delta A = \delta A_1 + \delta A_2$  – суммарная вариация работы внешних сил  $\delta A_1$  и контурных усилий  $\delta A_2$ ;  $\delta W$  – вариация работы внутренних сил упругости.

Вариация работы внешней поверхностной нагрузки будет:

$$\delta A_1 = \iint_S q \delta w r dr d\varphi. \quad (4)$$

Вариация работы контурных усилий  $T_r^0, H_r^0, M_r^0, Q^0, D_r^0, M_{rz}^0$ :

$$\delta A_2 = \int_0^{2\pi} (T_r^0 \delta u + H_r^0 \delta \psi + M_r^0 \delta w_{,r} + Q^0 \delta w + D_r^0 \delta v_{,r} + M_{rz}^0 \delta v) d\varphi. \quad (5)$$

Вариация работы сил упругости:

$$\delta W = \iint_S \left[ \sum_{k=1}^3 \int_{h_k} (\sigma_r^{(k)} \delta \varepsilon_r^{(k)} + \sigma_\varphi^{(k)} \delta \varepsilon_\varphi^{(k)}) dz + 2 \int_{-c}^c \sigma_{rz}^{(3)} \delta \varepsilon_{rz}^{(3)} dz + \int_{-c}^c \sigma_z^{(3)} \delta \varepsilon_z^{(3)} dz \right] r dr d\varphi. \quad (6)$$

Выразив в (6) деформации через искомые функции и приравняв полученное выражение к работе внешних и контурных усилий (4), (5), потребуем выполнение этого равенства при любых значениях варьируемых величин. Это возможно при равенстве нулю коэффициентов при независимых вариациях искомых функций. Отсюда следует система дифференциальных уравнений равновесия в усилиях (3), описывающая деформирование круглой трехслойной пластинки со сжимаемым заполнителем:

$$\begin{cases} T_{r,r} + \frac{1}{r}(T_r - T_\varphi) = -p, \\ H_{r,r} + \frac{1}{r}(H_r - H_\varphi) - Q^{(3)} = 0, \\ M_{r,rr} + \frac{1}{r}(2M_{r,r} - M_{\varphi,r}) = -q, \\ D_{r,rr} + \frac{1}{r}(2D_{r,r} - D_{\varphi,r} - M_{rz}^{(3)}) - T_z^{(3)} - M_{rz,r}^{(3)} = 0. \end{cases} \quad (7)$$

На границе  $r = r_0$  должны выполняться силовые условия:

$$\begin{aligned} T_r &= T_r^0, \quad H_r = H_r^0, \quad M_r = M_r^0, \quad M_{r,r} + \frac{1}{r}(M_r - M_\varphi) = Q^0, \\ D_r &= D_r^0; \quad D_{r,r} + \frac{1}{r}(D_r - D_\varphi) - M_{rz}^{(3)} = M_{rz}^0. \end{aligned} \quad (8)$$

Выразив внутренние обобщенные усилия в (7) через искомые функции  $w(r), u(r), \psi(r), v(r)$ , и используя обозначения  $K_k^+ = K_k + \frac{4}{3}G_k$ ,  $K_k^- = K_k - \frac{2}{3}G_k$ , получим в итоге систему обыкновенных дифференциальных уравнений, описывающую перемещения в круглой трехслойной пластине со сжимаемым заполнителем:

$$\begin{aligned}
L_2(a_1u + a_2\psi - a_3w_{,r} - a_4v_{,r}) + K_3^- v_{,r} &= p, \\
L_2(a_2u + a_4\psi - a_5w_{,r} - a_7v_{,r}) - 2cG_3\psi &= 0, \\
L_3(a_3u + a_5\psi - a_6w_{,r} - a_8v_{,r}) &= -q,
\end{aligned} \tag{9}$$

$$L_3(a_4u + a_7\psi - a_9w_{,r} - a_{10}v_{,r}) + \frac{c}{6}K_3^- \left( v_{,rr} + \frac{v_{,r}}{r} \right) - 2cK_3^+ v - 2cK_3^- \left( u_{,r} + \frac{u}{r} \right) = -q.$$

Здесь коэффициенты  $a_i$  и дифференциальные операторы  $L_2$  (оператор Бесселя),  $L_3$  определяются соотношениями:

$$a_1 = \sum_{k=1}^3 h_k K_k^+, \quad a_2 = c(h_1 K_1^+ - h_2 K_2^+), \quad a_3 = h_1 \left( c + \frac{1}{2} h_1 \right) K_1^+ - h_2 \left( c + \frac{1}{2} h_2 \right) K_2^+,$$

$$a_4 = c^2 \left( h_1 K_1^+ + h_2 K_2^+ + \frac{2}{3} c K_3^+ \right),$$

$$a_5 = c \left[ h_1 \left( c + \frac{1}{2} h_1 \right) K_1^+ + h_2 \left( c + \frac{1}{2} h_2 \right) K_2^+ + \frac{2}{3} c^2 K_3^+ \right],$$

$$a_6 = h_1 \left( c^2 + ch_1 + \frac{1}{3} h_1^2 \right) K_1^+ + h_2 \left( c^2 + ch_2 + \frac{1}{3} h_2^2 \right) K_2^+ + \frac{2}{3} c^3 K_3^+,$$

$$a_7 = c^2 \left[ h_1 \left( c + \frac{1}{2} h_1 \right) K_1^+ - h_2 \left( c + \frac{1}{2} h_2 \right) K_2^+ \right],$$

$$a_8 = c \left[ h_1 \left( c^2 + ch_1 + \frac{1}{3} h_1^2 \right) K_1^+ - h_2 \left( c^2 + ch_2 + \frac{1}{3} h_2^2 \right) K_2^+ \right],$$

$$a_9 = c^2 \left( h_1 \left( c^2 + ch_1 + \frac{h_1^2}{3} \right) K_1^+ + h_2 \left( c^2 + ch_2 + \frac{h_2^2}{3} \right) K_2^+ + \frac{2}{5} c^3 K_3^+ \right),$$

$$L_2(g) \equiv \left( \frac{1}{r} (rg)_{,r} \right)_{,r} \equiv g_{,rr} + \frac{g_{,r}}{r} - \frac{g}{r^2}, \quad L_3(g) \equiv \frac{1}{r} (rL_2(g))_{,r} \equiv g_{,rrr} + \frac{2g_{,rr}}{r} - \frac{g_{,r}}{r^2} + \frac{g}{r^3}.$$

Краевая задача замыкается добавлением к системе (9) силовых (8) или кинематических граничных условий. При жесткой заделке контура пластины должны выполняться требования

$$u = \psi = w = v = w_{,r} = 0 \quad \text{при } r = r_0.$$

При шарнирном опирании контура пластины

$$u = \psi = w = v = M_r = 0 \quad \text{при } r = r_0. \tag{10}$$

Следует отметить, если в системе (9) положить  $v(r) \equiv 0$ , то первые три уравнения в ней совпадут с известной системой уравнений равновесия для круговой пластины с несжимаемым наполнителем [3, 8].

**2. Аналитическое решение краевой задачи.** В общем случае получить точное решение системы (9) не удалось. Поэтому ограничиваемся рассмотрением изгиба пластины под действием равномерно распределенной нагрузки ( $q = \text{const}$ ,  $p = 0$ ), с легким наполнителем. В этом случае пренебрегаем работой наполнителя в тангенциальном и вертикальном направлениях, что приводит к удалению двух интегральных слагаемых в выражении вариации работы внутренних усилий (6), содержащих  $\sigma_{rz}$ ,  $\sigma_z$ . В системе (9) исчезнет последнее слагаемое во втором уравнении и последние два слагаемые в четвертом уравнении. После необходимых преобразований было получено дифференциальное уравнение четвертого порядка для прогиба пластины. Его решение было сведено к решению двух дифференциальных уравнений второго порядка. В итоге имеем следующее решение задачи об изгибе трехслойной круговой пластины со сжимаемым наполнителем:

$$\begin{aligned}
\psi &= -\frac{q}{8a_6} r^3 - \frac{1}{a_6} (a_3u - a_8w_{,r} - a_9v_{,r}) + C_3 \frac{r}{2}, \\
w &= \frac{a_2a_6 - a_3a_5}{a_6^2 - a_5a_8} \int u \, dr - \frac{a_6a_7 - a_5a_9}{a_6^2 - a_5a_8} v - \frac{a_5q}{8(a_6^2 - a_5a_8)} r^3 + C_{10} \frac{r^2}{4} + C_{12}, \\
u &= b_1v_{,r} + (b_2 + b_3)L_3^{-1}(q) + C_5 \frac{r}{2},
\end{aligned} \tag{11}$$

$$v = -\frac{C_7}{\beta} J_0(\beta r) + \frac{\pi}{2} \left( \int Y_1(\beta r) \int J_1(\beta r) q_1(r) r dr dr - \int J_1(\beta r) \int Y_1(\beta r) q_1(r) r dr dr \right) + C_9,$$

где  $J_1(\beta r)$ ,  $Y_1(\beta r)$  – функции Бесселя первого и второго рода соответственно;

$$q_1 = \frac{r}{2} \left( \frac{d_4 d_5 - d_1 d_8}{d_1 d_6 - d_2 d_5} + \frac{d_1 d_9}{d_1 d_6 - d_2 d_5} \right), \quad b_1 = \frac{d_2 d_7 - d_3 d_6}{d_1 d_7 - d_3 d_5}, \quad b_2 = \frac{d_4 d_7 - d_3 d_8}{d_1 d_7 - d_3 d_5}, \quad b_3 = \frac{d_3 d_9}{d_1 d_7 - d_3 d_5},$$

$$d_1 = (a_1 a_6 - a_2 a_3)(a_6^2 - a_5 a_8) - (a_2 a_6 - a_3 a_5)(a_3 a_6 - a_2 a_8),$$

$$d_2 = (a_4 a_6 - a_2 a_9)(a_6^2 - a_5 a_8) - (a_6 a_7 - a_5 a_9)(a_3 a_6 - a_2 a_8), \quad d_3 = a_6 (a_6^2 - a_5 a_8) K_3^-,$$

$$d_4 = a_2 (a_6^2 - a_5 a_8) - a_5 (a_3 a_6 - a_2 a_8),$$

$$d_5 = (a_4 a_6 - a_3 a_7)(a_6^2 - a_5 a_8) - (a_2 a_6 - a_3 a_5)(a_6 a_9 - a_7 a_8),$$

$$d_6 = (a_6 a_{10} - a_7 a_9)(a_6^2 - a_5 a_8) - (a_6 a_7 - a_5 a_9)(a_6 a_9 - a_7 a_8), \quad d_7 = \frac{a_6 c}{6} (a_6^2 - a_5 a_8) K_3^-,$$

$$d_8 = a_7 (a_6^2 - a_5 a_8) - a_5 (a_6 a_9 - a_7 a_8), \quad d_9 = a_6 (a_6^2 - a_5 a_8).$$

В общем случае в решении (11) содержится 12 констант интегрирования. Шесть из них полагаются равными нулю исходя из условия ограниченности перемещений в центре пластины. Остальные определяются из граничных условий на контуре пластины.

В случае шарнирного опирания контура из условий (10) и решения (11) следуют константы интегрирования

$$C_3 = \frac{q_0 r_0^2}{8 a_6} + \frac{2 a_8}{a_6 r_0} \left( -\frac{a_5}{16(a_6^2 - a_5 a_8)} q_0 r_0^3 + C_{10} \frac{r_0}{2} \right) + \frac{2 a_9}{a_6 r_0} \left( \frac{a_6 a_7 - a_5 a_9}{a_6^2 - a_5 a_8} - 1 \right) C_7 J_1(\beta r_0) + \frac{q_0}{2 \beta^2} (p_1 + p_2),$$

$$C_5 = -(b_2 + b_3) \frac{q_0 r_0^2}{8} - \frac{q_0 b_1}{2 \beta^2} (p_1 + p_2), \quad C_7 = 0, \quad C_9 = -\frac{q_0 r_0}{2 \beta^2} (p_1 + p_2), \quad (12)$$

$$C_{10} = \frac{3 q_0 a_5}{8(a_6^2 - a_5 a_8)} r_0^2 - \frac{3 q_0 (a_2 a_6 - a_3 a_5)(b_2 + b_3)}{8(a_6^2 - a_5 a_8)} r_0^2 + C_5,$$

$$C_{12} = -\frac{a_2 a_6 - a_3 a_5}{a_6^2 - a_5 a_8} \left( (b_2 + b_3) \frac{q_0 r_0^4}{64} + C_5 \frac{r_0^2}{4} \right) + \frac{a_5}{64(a_6^2 - a_5 a_8)} q_0 r_0^4 - C_{10} \frac{r_0^2}{4}.$$

Таким образом, решение (11) с константами (12) описывает перемещения в трехслойной пластине с легким сжимаемым заполнителем в случае шарнирного опирания ее контура.

**3. Численные результаты.** Параметрический анализ проведен для шарнирно опертой по контуру пластины единичного радиуса  $r_0 = 1$  м. Величина интенсивности поверхностной нагрузки –  $q_0 = -0,5$  МПа; линейные перемещения и геометрические параметры слоев, отнесенные к радиусу пластины,  $c = 0,23$ ,  $h_1 = 0,02$ ,  $h_2 = 0,02$ .

На рис. 2 проведены расчетные прогибы пластин со сжимаемым (1, 2) и несжимаемым (3) заполнителями: 1 – прогиб верхнего слоя; 2 – нижнего; 3 – при несжимаемом заполнителе. Материалы слоев дюралюминий–фторопласт–4–дюралюминий. Максимальное отличие прогибов составляет около 42 %, что существенно сказывается на всем напряженно-деформированном состоянии пластины.

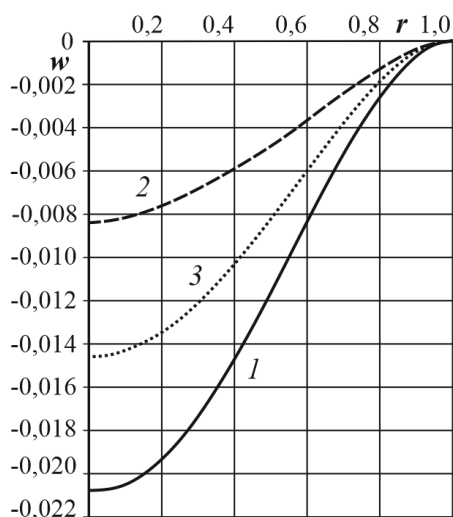


Рис. 2. Прогибы пластин со сжимаемым (1, 2) и несжимаемым (3) заполнителями

Рис. 3 показывает график изменения деформации обжатия  $\varepsilon_z^{(3)}$  в заполнителе вдоль радиуса пластины. Деформация постоянна по толщине, поэтому одинакова во всех плоскостях заполнителя. Она достигает максимума в центре пластины, оставаясь в силу граничных условий нулевой на контуре.

Сдвиговая деформация в заполнителе  $\varepsilon_{rz}^{(3)}$  зависит от координаты  $z$ , графики ее изменения на поверхностях заполнителя показаны на рис. 4: 1 –  $z = c$ ; 2 –  $z = -c$ . Максимальное значение достигается на нижней поверхности слоя, оно примерно в 2,5 раза больше аналогичного значения на верхней плоскости.

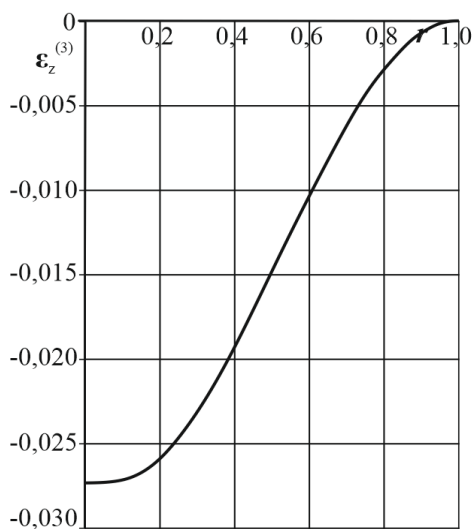


Рис. 3. Изменение деформации обжатия  $\varepsilon_z(r)$  вдоль радиуса

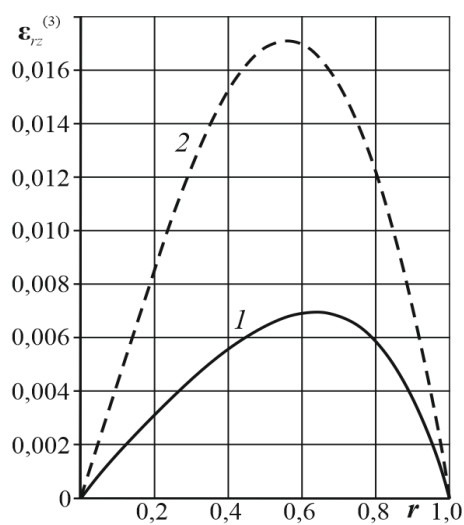


Рис. 4. Изменение деформаций  $\varepsilon_{rz}(r)$  вдоль радиуса на поверхностях слоя 3

**Выводы.** Принятие кинематических гипотез для каждого слоя в отдельности, учет сжимаемости заполнителя позволяют существенно уточнить напряженно-деформированное состояние трехслойных пластин. Предположение о линейности функции сжимаемости заполнителя в достаточной степени адекватно отражает реальное деформирование. Применение вариационных методов позволяет получать уточненную систему уравнений равновесия. Сведение дифференциального уравнения четвертого порядка для прогиба к двум дифференциальным уравнениям второго порядка позволило получить ана-

литическое решение задачи об изгибе круговой трехслойной пластины с легким заполнителем при равномерно распределенной нагрузке. Численное исследование показало, что в принятых условиях максимальное отличие прогибов у пластин со сжимаемым и несжимаемым заполнителями отличаются на 42 %.

Таким образом, предложенная математическая модель позволяет исследовать НДС упругих трехслойных круговых пластин со сжимаемым заполнителем при любых осесимметричных нагрузках. Учет сжимаемости заполнителя приводит к существенному уточнению НДС рассматриваемой трехслойной пластины. Полученное аналитическое решение может служить для проведения соответствующих численных экспериментов при проведении расчетов композитных элементов конструкций в строительстве и машиностроении.

*Работа выполнена при финансовой поддержке БРФФИ (проект T20P-047).*

## ЛИТЕРАТУРА

1. Головкин, К. Г. Динамика неоднородных оболочек при нестационарных нагрузках / К. Г. Головкин, П. З. Луговой, В. Ф. Мейш // Киев: Киевский ун-т. – 2012. – С. 541.
2. Aghalovyan, L. Asymptotic theory of anisotropic plates and shells / L. Aghalovyan // Singapore – London: World Scientific Publishing. – 2015. – P. 376.
3. Журавков, М. А. Механика сплошных сред. Теория упругости и пластичности / М. А. Журавков, Э. И. Старовойтов // Минск: БГУ. – 2011. – С. 543.
4. Старовойтов, Э. И. Колебания трехслойных цилиндрических оболочек в упругой среде Винклера при резонансе / Э. И. Старовойтов, Д. В. Леоненко, Ю. М. Плещачевский // Механика машин, механизмов и материалов. – 2013. – № 4(22). – С. 70–73.
5. The oblique impact response of composite sandwich plates / I. Ivañez [et al.] // Composite Structures. – 2015. – № 133. – P. 1127–1136.
6. Grover, N. An inverse trigonometric shear deformation theory for supersonic flutter characteristics of multilayered composite plates / N. Grover, B. N. Singh, D. K. Maiti // Aerospace Science and Technology. – 2016. – № 52. – P. 41–51.
7. Василевич, Ю. В. Метод расчета эффективности виброизоляции однослойного и многослойного ограждений в твердой упругой среде / Ю. В. Василевич, В. В. Неумержицкий // Механика машин, механизмов и материалов. – 2009. – № 1(1). – С. 56–58.
8. Старовойтов, Э. И. Термоупругое деформирование трехслойной круглой пластины поверхностными нагрузками различных форм / Э. И. Старовойтов, Д. В. Леоненко // Механика машин, механизмов и материалов. – 2018. – № 1(42). – С. 81–88.
9. Zenkour, A. M. Bending Analysis of Functionally Graded Sandwich Plates under the Effect of Mechanical and Thermal Loads / A. M. Zenkour, N. A. Alghamdi // Mechanics of Advanced Materials and Structures. – 2010. – Vol. 17, № 6. – P. 419–432.
10. Нестерович, А. В. Напряженное состояние круговой трехслойной пластины при осесимметричном нагружении в своей плоскости / А. В. Нестерович // Механика. Исследования и инновации. – 2019. – Вып. 12. – С. 152–157.
11. Нестерович, А. В. Напряжения в круговой пластине типа Тимошенко при неосесимметричном растяжении-сжатии / А. В. Нестерович // Механика. Исследования и инновации. – 2018. – Вып. 11. – С. 195–203.
12. Захарчук, Ю. В. Перемещения в круговой трехслойной пластине со сжимаемым заполнителем / Ю. В. Захарчук // Механика. Исследования и инновации: междунар. сб. науч. тр. – БелГУТ. – Гомель. – 2017. – Вып. 10. – С. 55–66.
13. Comparison of Bending Properties for Cellular Core Sandwich Panels / L. Yang [et al.] // Materials Sciences and Applications. – 2013. – Vol. 4, № 8. – P. 471–477.

14. Захарчук, Ю. В. Влияние сжимаемости заполнителя на перемещения в трехслойной круговой симметричной пластине / Ю. В. Захарчук // Математическое моделирование, компьютерный и натурный эксперимент в естественных науках. – 2018. – № 2. – С. 14–27.
15. Старовойтов, Э. И. Нелинейное деформирование трехслойной пластины со сжимаемым заполнителем / Э. И. Старовойтов, Ю. В. Захарчук // Механика машин, механизмов и материалов. – 2019. – № 3(48). – С. 26–33.

*Поступила: 02.02.2021*